

中国造船工程学会船舶力学学术委员会

第五届结构应力学术讨论会

论 文 集



1988

《中国造船》编辑部

目 录

1、梁柱特征值理论的一般研究 ······	束长庚	周国华(1)
2、大开口分节驳结构强度研究 ······	朱剑如	(10)
3、一艘大舱口江海直达货船结构模型试验研究 ······	杨永谦 王文标	严仁军(20)
4、船体半无矩壳理论动力分析及应用研究 ······	孙海虹	杨永谦(30)
5、具有大开口横梁间距不等的甲板板架弹性稳定性近似分析 ······	王林	郭日修(42)
6、按甲板屈曲强度计算船体梁能力 ······		邢金有(53)
7、新颖的单向梁——全双壳结构系统及其在大型油轮中的应用 ······		郭昌捷(58)
8、长大开口双壳船体的结构强度研究 ······	陶政国 沈德标	葛兴美(68)
9、自卸船的货舱强度计算研究 ······	马广宗 刘健宜 甘锡林 朱胜昌	张晋伦(78)
10、水下船舶结构设计计算问题研讨之一 ······		侯维廉(95)
11、腐蚀对耐压壳稳定和强度的影响 ······	李龙渊 施德培 韩继文	吴树勋(104)
12、环肋圆柱壳应力计算中某些问题的研究 ······		许辑平(113)
13、加肋圆柱壳强度稳定综合问题的计算原理和方法 ······	石德新	罗培林(121)
14、半波形肋骨初挠度对环肋圆柱壳肋骨应力的影响 ······	彭彪	贺小型(127)
15、组合加肋旋转壳的强度和稳定性有限元分析 ······		周承芳(138)
16、T型管状节点表面裂纹应力强度因子的计算 ······	朱邦俊 王玉华	郭成善(152)
17、局部加厚的T型管节点有限元分析 ······		王玉华(164)
18、海洋平台局部壁厚加强管节点应力分析研究 ······	石理国 姚木林	周敏健(173)
19、SAP-5程序计算船舶和海洋工程结构的一些扩充 ······	朱胜昌 吴士冲 甘锡林	张晋伦(201)
20、SALM系统永久性单点系泊生存能力的结构分析 ······	朱胜昌 张晋伦	甘锡林(212)
21、液化天然气船球形液仓的稳态温度场及热应力分析 ······		
22、近海平台管状接头的极限分析与实验研究 ······	陈伯真 胡毓仁	陶敬阳(228)
23、近海平台管状接头的子结构有限元分析 ······	陈铁云 陈巍旻	杨奇莹(240)
24、用边界元法和序列线性规划确定舱口角隅的最佳形状 ······	吴水云	陈铁云(254)
25、油船中剖面的模糊优化设计 ······	俞铭华	徐昌文(266)
26、船舶结构优化设计的单调性分析法 ······	徐昌文	肖熙(275)
27、解析弹性基础梁的强度稳定综合问题 ······	郝刚	陈林(284)
28、一种结构可靠性分析方法及在油轮中的应用 ······		罗培林(296)
29、边界元与有限元耦合的弹塑性分析 ······	齐葵	肖熙(305)
30、大型油轮结构分析方法的研究 ······	古长江 郑云龙	金在律(315)
31、单向梁系统双壳结构有限元 ······		金在律(331)
32、薄板组合结构应力分析中的边界元与有限元耦合法 ······	郑云龙	孙继光(340)
33、复杂板架受集中质量撞击作用下理想刚塑性有限变形分析 ······	郑标嘉	朱科(350)
34、船体角接壳板应力强度因子光弹性分析 ······		陈尊让(362)

35. 用具有连续和离散变量的混合数学规划方法解模糊优化问题 ······ 邵文蛟 梁志华(392)
 36. 纤维增强复合材料疲劳性能 ······ 周兴才(402)
 专1. 近代计算结构力学方法的概括 ······ 金在律(410)
 专2. 双壳船体强度问题 ······ 杨永谦(421)

梁柱特征值理论的一般研究

束长庚 周国华
(中国船舶科学研究中心)

提要 本文论述了梁柱屈曲、谐和振动、谐和振动屈曲以及动力稳定性等诸特征值之间的关系，指出了谐和振动屈曲理论在诸特征值中占有极其重要的地位，对它的研究不但具有理论意义，而且具有广泛的应用前景。

一、前言

工程结构设计和研究人员都知道，结构屈曲、谐和振动都属结构特征值。它们分属应力分析和动力分析两个学科，然而“谐和振动屈曲理论（以下简称谐振屈曲理论）〔1〕、〔2〕”，将之有机地联系在一起。确切地说，后者是计及轴向压力的谐和振动：当频率取零时，就是通常所说的静力屈曲理论；当轴向力取零时，就是通常所说的谐和振动理论。这就是说，谐振屈曲理论联系且统一了结构屈曲和谐和振动理论。

自然可以想到，谐振屈曲理论应指轴向力为压缩的情况。为了使本文更具广泛性，同时减少不必要的名词术语，本文所指的谐振屈曲理论泛指轴向力为拉伸和压缩两种情况。众所周知，轴向压力能降低结构振动频率，而轴向拉力则能提高结构振动频率；换言之，结构振动频率应该是轴向力的函数。因此，研究结构振动频率，宜采用谐振屈曲理论为妥。

当轴向力具有谐和分量时，将变成动力稳定性问题〔3〕。动力稳定性和谐和振动屈曲一样，也属于结构特征值。但是它是以有无穷个激发区域和不易获得封闭解为其特征的。与谐振屈曲一样，本文在阐述动力稳定性时，也包括轴向压力和拉力两种情况。

总之，结构屈曲、谐和振动、谐和振动屈曲和动力稳定性，均属结构特征值。本文以梁为例，阐述这些理论的一般研究方法、它们的相互联系以及在解析有限元法中的应用。谐振屈曲理论在结构诸特征值中占有极其重要的地位。深入研究该理论，不但结构屈曲、谐和振动可以迎刃而解，也为动力稳定性奠定了坚实的基础。

二、符号说明

E, E_t 材料弹性模量、切线模量

I 梁横截面最小惯性矩

P 作用在梁横截面形心上的轴向力，压缩为正，拉伸为负

M 等值梁单位长度质量

ω 在轴向力作用下等值梁横向振动圆频率

θ 轴向力谐和分量圆频率

$v(s, t)$ 梁横向位移函数

s 横坐标

t 时间

其它符号，详见文中说明。

三、梁柱屈曲理论

在轴向压力 P 作用下，等截面梁的微分方程为

$$EI \frac{d^4 v(s)}{ds^4} + P \frac{d^2 v(s)}{ds^2} = 0 \quad (1)$$

若梁长为 l ，取参数

$$\alpha^2 = P l^2 / EI \quad (2)$$

则方程 (1) 的解可示为

$$v(s) = a_1 + a_2 s + a_3 \cos \frac{\alpha s}{l} + a_4 \sin \frac{\alpha s}{l} \quad (3)$$

待定系数 a_i ($i=1, 2, 3, 4$) 可由梁的边界条件确定。对两端自由支持的梁柱，可取 $a_1=a_2=a_3=0$ ，则

$$v(s) = a_4 \sin \frac{\alpha s}{l} \quad (4)$$

当 $s=l$ 时， $v(l)=0$ ，因 $a_4 \neq 0$ ，则有

$$\sin \alpha = 0 \quad \text{或} \quad \alpha = i\pi$$

$$\text{则 } P_{ei} = i^2 \pi^2 EI / l^2 \quad (i=1, 2, 3, \dots) \quad (5)$$

对于计及材料物理非线性的梁柱，若采用切线模量理论则

$$P_{cri} = i^2 \pi^2 E_t I / l^2 \quad (i=1, 2, 3, \dots) \quad (6)$$

当 $i=1$ ，(5) 式为著名的欧拉力公式。

当 $i=1$ ，(6) 式为著名的切线模量临界力公式。

四、梁横向固有振动理论

若等截面梁单位长度的质量为 M ，其横向固有振动的四阶偏微分方程是

$$EI \frac{\partial^4 v(s, t)}{\partial s^4} + M \frac{\partial^2 v(s, t)}{\partial t^2} = 0 \quad (7)$$

对位移 $v(s, t)$ 采用分离变量法：

$$v(s, t) = v(s) \sin \omega t \quad (8)$$

代入(7)式得关于 s 的四阶常微分方程

$$EI \frac{d^4 v(s)}{ds^4} - M\omega^2 v(s) = 0 \quad (9)$$

取参数

$$\beta = \sqrt{\frac{M\omega^2}{EI}} \quad (10)$$

则(9)式之通解为

$$v(s) = a_1 \cosh \frac{\beta s}{l} + a_2 \sinh \frac{\beta s}{l} + a_3 \cos \frac{\beta s}{l} + a_4 \sin \frac{\beta s}{l} \quad (11)$$

待定系数 a_i ($i=1, 2, 3, 4$) 由边界条件确定。对两端自由支持的梁，可取 $a_1 = a_2 = a_3 = 0$ ，则

$$v(s) = a_4 \sin \frac{\beta s}{l} \quad (12)$$

当 $s = l$ 时， $v(l) = 0$ ，因 $a_4 \neq 0$ ，则有

$$\sin \beta = 0 \quad \text{或} \quad \beta = i\pi$$

则该梁之 i 阶横向固有圆频率为

$$\omega_i = \frac{i^2 \pi^2}{l^2} \sqrt{\frac{EI}{M}} \quad (i=1, 2, 3, \dots) \quad (13)$$

(13) 式无轴力 P ，为具有通常含义的固有圆频率。

顺便指出，(3)式可用作梁柱屈曲解析有限元的位移函数(4)，(11)式可用作梁横向固有振动解析有限元的位移函数(5)。无论是(3)式还是(11)式，当 $P \rightarrow 0$ 或 $\omega \rightarrow 0$ 时，均可退化为

$$v(s) = a_1 + a_2 s + a_3 s^2 + a_4 s^3 \quad (14)$$

这就是通常梁有限元法惯用的多项式位移函数。无疑，若采用(3)式或(11)式，以位移解法来获得梁柱屈曲或梁横向固有振动的单元矩阵，当令 $P \rightarrow 0$ 或 $\omega \rightarrow 0$ 时，即可获得多项式有限元法的单元刚度矩阵。因此，若在稳定性程序设计中，受压梁元可采用(3)式位移函数的解析单元矩阵，非受压梁元亦可采用该单元矩阵，不过需令 $P \rightarrow 0$ 即可。

采用解析有限元法(2)、(4)、(5)的好处是众所周知的，它对节省机器内存、减少运算时间等均有现实意义；尤其能保持解析解的精度，是最受工程设计和科学研究人员所欢迎的。

单

五、梁谐振屈曲理论(1)、(2)

在等截面梁形心上作用一轴向力 P ，该梁单位长度质量为 M ，则它的横向谐和振动偏微分方程为

$$EI \frac{\partial^4 v(s, t)}{\partial s^4} + P \frac{\partial^2 v(s, t)}{\partial s^2} + M \frac{\partial^2 v(s, t)}{\partial t^2} = 0 \quad (15)$$

对位移 $v(s, t)$ 采用分离变量法：

$$v(s, t) = v(s) \sin \omega t \quad (16)$$

代入(15)式，消去时间 t 变量后，(15)式转变为只含坐标变量 s 的常微分方程如下：

$$EI \frac{d^4 v(s)}{ds^4} + P \frac{d^2 v(s)}{ds^2} - M\omega^2 v(s) = 0 \quad (17)$$

若取参数

$$\left. \begin{aligned} \alpha &= l \sqrt{P/EI} \\ \beta &= l \sqrt[4]{M\omega^2/EI} \\ a &= \sqrt{\frac{1}{\beta^4 + \frac{1}{4}\alpha^4} - \frac{\alpha^2}{2}} \\ b &= \sqrt{\frac{1}{\beta^4 + \frac{1}{4}\alpha^4} - \frac{\alpha^2}{2}} \end{aligned} \right\} \quad (18)$$

则(17)式之通解为

$$v(s) = a_1 \cosh \frac{as}{l} + a_2 \sinh \frac{as}{l} + a_3 \cos \frac{bs}{l} + a_4 \sin \frac{bs}{l} \quad (19)$$

根据本文对轴向力 P 正负号的规定，(19)式实际表示了轴向压力 P 与梁的横向振动圆频率 ω 的位移函数，而待定系数 a_i ($i=1, 2, 3, 4$) 由边界条件确定。显然，当 $P \rightarrow 0$ 时，(19)式退化为(11)式；当 $\omega \rightarrow 0$ 时，(19)式退化为(3)式。(19)式对认识结构屈曲、振动的 $P \sim \omega$ 之间的关系以及结构屈曲的微振动测量等，都具有工程应用价值。作者已将该理论在计及剪切、转动惯量、附连水质量以及材料物理非线性时，以解析有限元的形式发表[1]，它在空间骨架弹塑性屈曲方面已获得工程应用[6]。

根据本文在前言中所述，本文所指的谐振屈曲理论泛指轴向力为拉伸和压缩两种情况，因此，下面研究轴向力为拉伸时的情形。当轴向力为拉伸时，该梁横向谐和振

动偏微分方程为

$$EI \frac{\partial^4 v(s, t)}{\partial s^4} - P \frac{\partial^2 v(s, t)}{\partial s^2} + M \frac{\partial^2 v(s, t)}{\partial t^2} = 0 \quad (20)$$

采用分离变量法，则(20)式变为 s 的常微分方程

$$EI \frac{d^4 v(s)}{ds^4} - P \frac{d^2 v(s)}{ds^2} - M\omega^2 v(s) = 0 \quad (21)$$

若取(18)式所表示的参数，则(21)式的通解为

$$v(s) = a_1 \cosh \frac{bs}{l} + a_2 \sinh \frac{bs}{l} + a_3 \cos \frac{as}{l} + a_4 \sin \frac{as}{l} \quad (22)$$

待定系数 a_i ($i=1, 2, 3, 4$) 由边界条件确定。

对梁来说，轴向压力会出现屈曲问题，而轴向拉力不会出现屈曲问题。因此，(19)式用作位移函数的可能性为大。本文为了使理论更为完善，也给出了轴力为拉伸时的通解。

六、具有轴向力梁谐和振动的特点

无疑，具有轴向力梁的谐和振动，在性质与数值上均有很大变化。下面我们用(19)式和(22)式来研究。

对两端自由支持的等值梁，第 i 阶 ($i=1, 2, 3, \dots$) 振动圆频率为：

(1) 当轴力为压缩时：

$$b = i\pi \quad (23)$$

代入有关各式，可解得

$$\omega_i = \frac{i\pi}{l} \sqrt{\frac{EI}{M} \left(\frac{i^2 \pi^2}{l^2} - \frac{P}{EI} \right)} \quad (24)$$

(2) 当轴力为拉伸时：

$$a = i\pi \quad (25)$$

代入有关各式，可解得

$$\omega_i = \frac{i\pi}{l} \sqrt{\frac{EI}{M} \left(\frac{i^2 \pi^2}{l^2} + \frac{P}{EI} \right)} \quad (26)$$

其实，不论轴力是压缩还是拉伸，均可用(24)式表示，只不过要注意本文对轴力 P 正负号的规定即可。(24)式表明，梁横向振动圆频率 ω_i 随着轴向压力的增加而减小；特别地当 $\omega_i=0$ 时，则有

$$P_{ei} = \frac{i^2 \pi^2 EI}{l^2} \quad (27)$$

这就是等值梁柱第*i*阶欧拉力的公式，尤其当*i* = 1，即得著名的欧拉力公式：

$$P_e = \frac{\pi^2 EI}{l^2} \quad (28)$$

若考虑材料物理非线性，采用柱子的切线模量理论，则可得梁柱的临界力公式：

$$P_{cr} = \frac{\pi^2 E_t I}{l^2} \quad (29)$$

(26)式(或用(24)式当P < 0时)表明，梁横向振动圆频率 ω_i 随着轴向拉力的增加而增加，不可能象轴力为压缩时找得 $\omega_i = 0$ 的条件，即轴向受拉梁没有屈曲问题，只有振动频率的特征值问题。对无限线性材料，承受轴向拉力梁的横向振动圆频率，会随着轴向拉力的增加而无限增加。但是，若考虑材料的物理非线性，梁承拉的抗弯能力用切线模量表示时，可以想象的是，当平均拉应力趋近于材料拉伸屈服限时，因 $E_t \approx 0$ ，故

$$\omega_i \rightarrow \frac{i\pi}{l} \sqrt{P/M} \quad (30)$$

即 ω_i 不会无限增加，随着P的增加而趋近于(30)式表示的一个常数。

当P = 0时，(24)与(26)式同时退化为通常含义下的固有圆频率公式(13)。

七、等值梁的动力稳定性(3)

在谐和轴向力

$$P(t) = P_0 + P_t \cos \theta t \quad (31)$$

作用下，不计阻尼时，梁横向振动偏微分方程为

$$EI \frac{\partial^4 v(s, t)}{\partial s^2} + (P_0 + P_t \cos \theta t) \frac{\partial^2 v(s, t)}{\partial s^2} + M \frac{\partial^2 v(s, t)}{\partial t^2} = 0 \quad (32)$$

(32)式为具有周期系数的四阶偏微分方程。谐和轴向力的周期T由下式确定

$$T = \frac{2\pi}{\theta} \quad (33)$$

要获得(32)式的封闭解是困难的。为寻找(32)式的解，可取v(s, t)为如下周期函数：

$$v(s, t) = \sum_{k=0}^{\infty} \left(X_k(s) \sin \frac{k}{2} \theta t + Y_k(s) \cos \frac{k}{2} \theta t \right) \quad (34)$$

本文旨在研究梁柱特征值之间关系，不研究动力稳定性问题，为使问题简化，先取 $v(s, t)$ 的一次近似解，即

$$v_1(s, t) = X_1(s) \sin \frac{\theta}{2} t + Y_1(s) \cos \frac{\theta}{2} t \quad (35)$$

将之代入 (32) 式后，可得一组四阶常微分方程如下：

$$\left. \begin{aligned} EI \frac{d^4 X_1(s)}{ds^4} + \left(P_0 - \frac{1}{2} P_t \right) \frac{d^2 X_1(s)}{ds^2} - M \left(\frac{\theta}{2} \right)^2 X_1(s) &= 0 \\ EI \frac{d^4 Y_1(s)}{ds^4} + \left(P_0 + \frac{1}{2} P_t \right) \frac{d^2 Y_1(s)}{ds^2} - M \left(\frac{\theta}{2} \right)^2 Y_1(s) &= 0 \end{aligned} \right\} \quad (36)$$

显然，方程组 (36) 可给出封闭解，它们相当于两个谐振屈曲方程。

若取 $v(s, t)$ 的零次近似解，即认为位移与时间 t 无关，即

$$v_0(s, t) = Y_0(s) \quad (37)$$

代入 (32) 式，得

$$EI \frac{d^4 Y_0(s)}{ds^4} + P_0 \frac{d^2 Y_0(s)}{ds^2} = 0 \quad (38)$$

(38) 式与 (1) 式完全相同，即梁柱动力稳定性的零次近似解为静力屈曲解。

(36) 式与 (17) 式完全相同，即梁柱动力稳定性的一次近似解为谐振屈曲解，只不过用 $\theta/2$ 代替 ω 而已。更详细地分析可以看到，动力稳定性的解是成对出现的，由

$X_1(s), Y_1(s)$ 可解出在 $P_0 - \frac{1}{2} P_t$ 和 $P_0 + \frac{1}{2} P_t$ 作用下所对应的 $\theta_{12}/2$ 和

$\theta_{11}/2$ ($\theta_{12} > \theta_{11}$)，若梁在轴力 P_0 作用下，其振动圆频率满足不等式

$$\theta_{12}/2 > \omega > \theta_{11}/2 \quad (39)$$

则梁横向振幅随时间 t 的增加而无限增加，即梁将丧失一阶动力稳定性；否则，梁首阶横向振幅是稳定的。

大家知道，在轴力作用下梁横向振动圆频率是确定值，为了防止梁丧失动力稳定性，其唯一办法是改变外荷频率 θ ，使之在 (39) 式之外即可。

八、例题

为使读者对梁柱诸特征值之间的关系有一个清晰而形象地了解，特给出一例题，

所取参数如下：

$$\text{材料弹性模量 } E = 2.0601 \times 10^4 \text{ kN/cm}^2$$

$$\text{梁截面惯性矩 } I = 0.01 \text{ m}^2 \text{ cm}^4$$

$$\text{梁长 } l = 7 \text{ m}$$

$$\text{单位长度质量 } M = 1.0 \text{ kg/m}$$

$$\text{重力加速度 } g = 9.81 \text{ m/s}^2$$

$$\text{轴力脉动值 } P_t = 10 \text{ kN}$$

取不同的轴向力 P ，根据谐振屈曲理论所提供的(24)式，对首阶振动频率 ω_1 ，计算值用表1给出：

表1 轴力 P 与频率 ω_1 之间的关系

$P \text{ kN}$	-40	-35	-30	-25	-20	-15	-10
$\omega_1 \text{ 1/s}$	1.2812	1.2413	1.2000	1.1573	1.1129	1.0667	1.0184

$P \text{ kN}$	-5	0	5	10	15	20	25
$\omega_1 \text{ 1/s}$	0.9677	0.9142	0.8574	0.7965	0.7305	0.6580	0.5764

$P \text{ kN}$	30	35	40	40.5	41	41.4	41.45	41.49
$\omega_1 \text{ 1/s}$	0.4812	0.3617	0.1735	0.1415	0.09981	0.04366	0.02998	0.00966

根据表1，可在 $P \sim \omega$ 坐标平面上作出曲线ABC，这就是该题的谐和振动屈曲曲线。该曲线与 ω 轴的交点B之 ω 值，就是通常所说的梁的横向固有振动的圆频率，与(13)式计算的 ω_1 相同；该曲线与 P 轴的交点C之 P 值，即为该梁的欧拉力 P_e ，与(6)式计算的 P_{e1} 相同，详细计算值为 $P_e = 41.49464 \text{ kN}$ 。

注意到谐振屈曲方程(21)和首阶动力稳定性方程组(36)的相似性，以及轴力脉动值 $P_t = 10 \text{ kN}$ ，则 $\theta_{12}/2$ 的值可由表1的 $P - \frac{P_t}{2}$ 确定，而 $\theta_{11}/2$ 的值可由表1的 $P + \frac{P_t}{2}$ 确定， $\theta_{12}/2$ 和 $\theta_{11}/2$ 所夹的区间就是该梁的首阶动力不稳定性近似区域。

在图1 $P \sim \omega$ 坐标平面上，因 $\theta/2$ 相当于 ω ， ω 纵坐标轴亦可看作 $\theta/2$ ，则 $\theta_{12}/2$ 、 $\theta_{11}/2$ 与 P 的关系曲线分别由图1 $A_1 B_1 C_1$ 和 $A_2 B_2 C_2$ 给出。对该题来说，曲线 $A_1 B_1 C_1$ 与曲线 $A_2 B_2 C_2$ 所夹的区域，就是首阶动力不稳定性区域。若轴力脉动值 $P_t = 10 \text{ kN}$ ，而谐振圆频率之半 $\theta/2$ 落入该区域，则为动力不稳定的；反之，落入该区域之外，则为动力稳定的。至于高阶动力不稳定性区域的近似确定方法，与之相仿，

不予叙述。

图1形象而具体地描绘了梁柱诸特征之间的关系，还可看出谐和振动屈曲理论在诸特征值中占有极为重要的地位。

九、结 论

本文论述表明，结构屈曲、谐和振动、谐和振动屈曲和动力稳定性等均属结构特征值，它们彼此不是孤立的，而是有机地联系在一起的：

(1) 结构屈曲、谐和振动是特征值问题最简单的形式，是建立结构特征值一般理论的基础；

(2) 谐和振动屈曲理论将结构屈曲和谐和振动有机地联系在一起，它把结构振动频率看作轴向力的函数，也把结构屈曲载荷看作外载荷频率 ω 的函数，屈曲和谐和振动是该理论的特例；

(3) 动力稳定性理论以谐和振动屈曲理论为基础，离开后者将难以研究动力稳定性；

(4) 谐和振动屈曲理论在结构诸特征值中占有极其重要的地位，是沟通诸特征值的桥梁，它不但具有理论意义(2)，在工程中必定有广泛的应用前景(1)。

十、参考文献

- (1) 束长庚、周国华“弹塑性空间刚架的谐和振动屈曲理论”，中国钢协结构稳定与疲劳协会论文集，1987。
- (2) R.W.Cloough《结构动力学》，科学出版社，1981。
- (3) 符·华·鲍洛金《弹性体系的动力稳定性》，高等教育出版社，1963。
- (4) 周国华、束长庚等“甲板稳定性计算方法”，《舰船科学技术》，1979，11
- (5) 束长庚“有限元解析法在船舶板架振动计算中的应用”《中国造船》
1980 № 2
- (6) 《高速水面舰结构设计计算规则》附录B

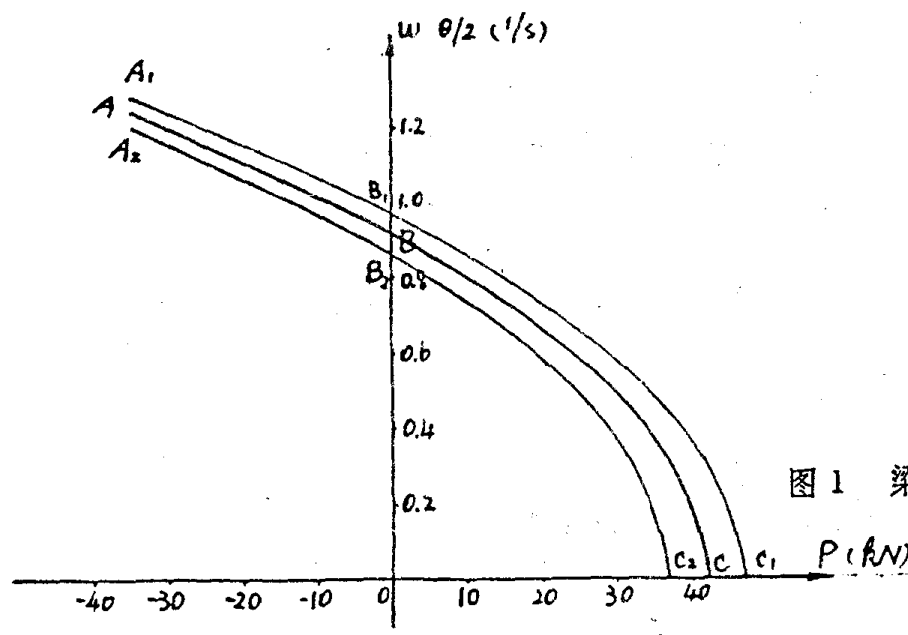


图1 梁柱诸特征值之间的关系

大开口分节驳结构强度研究

朱剑如
(船检局河船规范研究所)

前 言

随着交通运输事业的飞跃发展，长江分节顶推运输也得到迅速发展。分节驳的最大特点是结构简单，省材料易于加工建造，舱口大，便于港口快装快卸，在同一排水量情况下，阻力小，载量大，营运周期短，是发展水运事业的比较合理的船型。

由于分节驳具有长大的货舱口，抗扭强度比一般常规船型要差，该船型的扭转强度问题特别引人关注。为此，我们根据长江现有分节驳船的结构情况，选择了有代表性的两种结构型式的实船作为母型进行了模型试验，实船试验和全船的有限元分析等并且对所取得的数据如应力、变形进行了比较分析，对舱口角隅局部强度，在比较分析的基础上提出了计算该区域应力的近似公式。

一、船舶主要参数及计算、试验概况

我们将船舶的主要技术参数及模型试验、实船试验以及有限元分析概况列于表1

1. 有限元力学模型的简化

模型为三维的空间板、梁结构，有限元分析均利用 SAP5 结构静力程序计算。

对于 6.096^m 模型，整个结构的节点总数为 700 个，板单元为 868 个，梁单元数为 973 个。5.5^m 模型，节点总数为 898 个，板单元为 1269 个，梁单元为 699 个(1)、(5)。

2. 外载及边界条件

为了有限元计算与模型试验进行比较，模型试验、有限元计算的加载方式及大小边界条件是一致的。船中部是纯弯曲(中拱、中垂工况)，首尾集中扭，弯扭联合工况则为前二种的组合。

3. 薄壁梁的约束扭转

根据薄壁梁理论，船体梁截面上的扭转力矩 M_x 由自由扭转力矩 M_K 和弯扭力矩 M_ω 所平衡(2)、(4)：

$$M_x = M_K + M_\omega$$

4. 钢质结构模型试验(6)

主要技术数据以及试验工况等与有限元计算相同，略。

5. 实船结构强度试验, 参见文献〔1〕、〔3〕。

表1 船舶主要技术参数、计算与试验概况

船型 项目		1	2	备注
船舶 主要 技术 参数	船长 (m)	55	60.96	详见长航科研所分节 驳扭转强度和局部强度 的研究报告。
	满载水线长 (两柱间长) (m)	53	50.34	
	型宽 (m)	10.6	10.67	
	型深 (m)	3.5	4.27	
	吃水 (m)	2.6	3.8	
	载货量 (T)	1000	2000	
	双层底高 (m)	0.9	0.4	
舱口角形状		抛物线型	直角线型	
实船 试验 概况	船中弯矩 (T·M)	+1262 (中垂)	2025 (中垂)	同上
	船中扭矩 (T·M)	278	427	
钢及 质有 模限 型元 试分 验析	缩尺比	1:10	1:10	1. 同上 2. 另外, 弯扭联合作用 弯矩为 5.78 T·M, 扭矩为 1.68 T·M.
	模型板厚 (mm)	4	4	
	船中弯矩 (T·M)	6.72 (中垂)	6.6	
	首尾集中扭 矩 (T·M)	4.311	4.311	

二、试验数据与理论计算比较分析

1. 在首、尾集中扭矩作用下的应力分布及其变形：

(1) 剪应力 τ_{xy} 、翘曲正应力 σ_x 沿船长方向(纵向)的分布

τ_{xy} 和 σ_x 沿船长方向的分布如图 1、2，在船中处的理论计算与试验结果之间的比较如表 2 所示，在舱口角隅局部范围的应力分布在后面另述。

从图中可以看出模型试验与有限元计算所得的剪应力 τ_{xy} 沿船长方向的分布吻合良好，在舱口角隅附近急剧变化，剪力流向由于端部约束的影响，其方向发生变化。

翘曲正应力 σ_x 在个别点有偏离(有限元计算时约束点有所影响)外，船中部位几乎为零，且由中部向两端递增，在舱口角隅处的很小范围内出现峰值，这是应力集中现象的缘故。

从二模型 τ_{xy} 、 σ_x 曲线变化情况来看，6.096^m 模型的曲线变化较大，这是由于该模型舱口角隅是直角型的缘故，其应力集中现象比 5.5^m 模型舱口角隅是抛物线形的要严重。

(2) 剪应力和翘曲正应力的横向分布

在首、尾集中扭矩作用下的剪应力 τ_{xy} ，翘曲正应力 σ_x 的横向分布如图 3、4 所示。

从图中可以看出，船侧外板上在距船底约 $\frac{1}{3} D$ 型深处剪应力最大，其它部位如船底、内侧板和甲板等，其值小于船侧外板，且变化平缓。

舱口围板的抗扭刚度较低，反映出剪应力较小，所得数据正说明了这样的受力特性。

翘曲正应力 σ_x 在内侧板与甲板相交处最大，约为外侧板同高度的 1.2 倍左右，这是由于断面翘曲正应力的分布规律与断面扇形坐标的分布相似，翘曲正应力零点值与扇性坐标零点几乎重合。双壳船的应力零点值，对内、外侧有所不同，在同一扭转角的情况下，外侧板距基线较远，因而，内侧板与甲板相交处的翘曲正应力大于外侧板同高度的应力值，这是与理论分析是一致的。

(3) 舱口对角线变形量

在首、尾集中扭矩作用下，舱口对角线变形计算与试验值的比较，如表 3。

从表中可以看出，若以模型试验为准，有限元比试验值低，最大误差 7.86%，薄壁梁计算比试验值大，其值为 6.6%。其原因，前者是由于划分的单元尺寸大小和自由度的限制所引起的，后者是由于按薄壁梁理论计算时作了简化等因素的影响所致。

(4) 舱口角隅的应力分布及最大应力值的近似计算

舱口角隅的最大应力，根据有限元分析和模型试验结果表明，应力集中系数与船长，首、尾封闭端长度，舱口角形状关系最大，这些是影响应力集中系数的主要因素。为此，可用下列公式进行计算。

a. 首舱口角隅的最大集中正应力：

表2 船(模)中剪应力比较表

船(模)名	加载工况	中扭矩($T-M$)	剪切应力 (kgf/cm^2)			$\frac{\text{⑤}-\text{⑥}}{\text{⑥}} \times 100\%$	$\frac{\text{④}-\text{⑥}}{\text{⑥}} \times 100\%$
			有限元 计 算	薄壁梁 理 论	实 测		
1	2	3	4	5	6	7	8
5.5m 模型	首尾集中 扭矩	4.311	322	315	320	1.6	0.6
6.096m 模型	首尾集中 扭矩	4.311	301	293	300	2.3	0.3
1000T 分节驳	左尾右首 对角线加载	278		136	140	2.9	
2000T 分节驳	右首左尾 对角线加载	427		127	135	6	
*5000T 分节驳	左尾右首 对角线加载	2842.1		408	390	4.6	
	备注						

“*”为了验证薄壁梁理论是否适用，引用了上海船研所实船试验的数据。

表3 舱口对角线变形量比较

模 型		薄壁梁 (cm)	有限元 (cm)	模型试验 (cm)
5.5 ^m	伸长	伸长量 0.2335	0.2108	0.2190*
	长	误差% 6.6	-3.74	0
	缩	缩短值 -0.2318	0.2096	-0.2184*
	短	误差% 6.13	-4.02	0
6.096 ^m	伸长	伸长量 0.4162	0.3794	0.4118
	长	误差% 1.06	-7.86	0
	缩	缩短值 -0.4148	-0.3752	-0.4008
	短	误差% 3.49	-6.4	0
备 注		* 取自第一次试测值		

$$\sigma_{\text{首}} = 0.5 \left(1 + \frac{L}{20L_0} \right) \left(2 - \frac{b}{a} \right) \left(\frac{L_1}{L_0} \right) \tau_{cp}$$

式中： L——船长， m

L₀——尾封闭端长度， m

L₁——首封闭端长度， m

a——椭圆的长轴， m

b——椭圆的短轴， m

τ_{cp} ——船（模）中的平均剪应力， kgf/cm²

对于直角形舱口角，取 $\frac{b}{a} = 0$ ，圆角 $\frac{b}{a} = 1$

$$b \leq \frac{1}{20} B' \quad , \text{其中 } B' \text{——舱口宽， m}$$

b. 首舱口角隅的集中剪应力：

$$\tau_{\text{首}} = 1.2 \left(2 - \frac{b}{a} \left(1 + \frac{h}{H'} \right)^3 \right) \tau_{cp}$$

式中：

$$\frac{b}{a} \left(1 + \frac{h}{H'} \right)^3 \leq 1$$